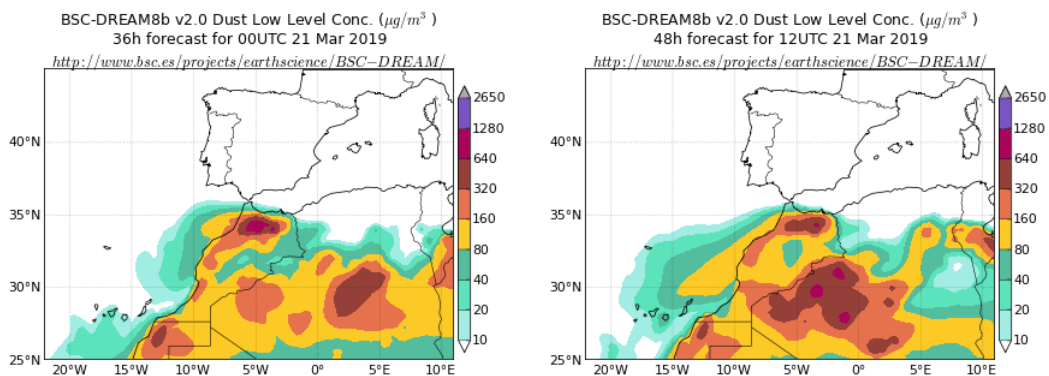


## Predicción de intrusión de masas de aire africano sobre España para el día 21 de marzo de 2019

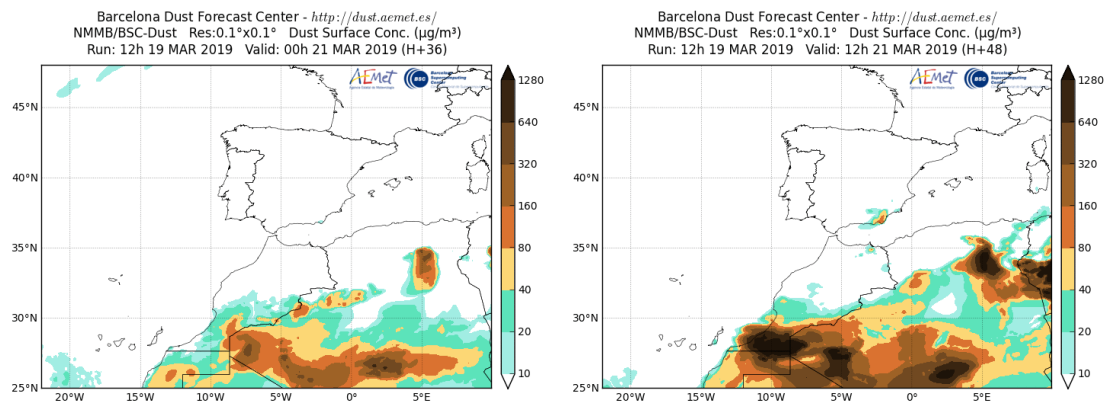
Los modelos consultados prevén la presencia de polvo sobre las islas Canarias para el día 21 de marzo. Estiman concentraciones de polvo en superficie en el rango 10-25  $\mu\text{g}/\text{m}^3$ . Según el modelo SKIRON también podría producirse depósito seco y húmedo de polvo sobre las islas Canarias a lo largo del día.

El modelo BSC-DREAM8b v2.0 prevé la presencia de masas de aire africano a nivel de superficie sobre las islas Canarias para el día 21 de marzo. Estima concentraciones de polvo en el rango 10-80  $\mu\text{g}/\text{m}^3$ .



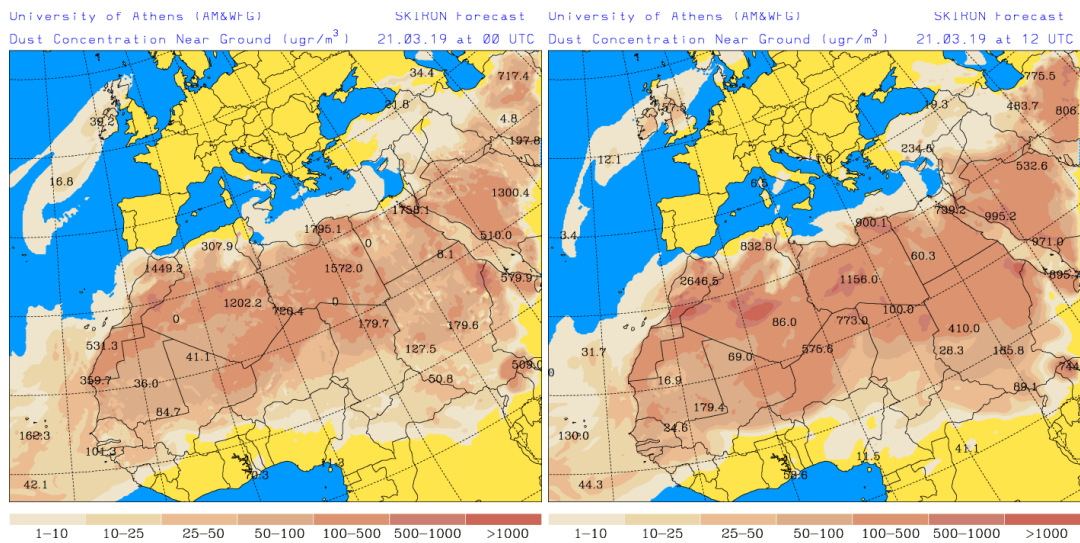
Concentración de polvo ( $\mu\text{g}/\text{m}^3$ ) predicha por el modelo BSC-DREAM8b v2.0 para el día 21 de marzo de 2019 a las 00 UTC (izquierda) y a las 12 UTC (derecha). © Barcelona Supercomputing Center.

El modelo NMMB/BSC-Dust prevé también la presencia de masas de aire africano a nivel de superficie sobre las islas Canarias para el día 21 de marzo. Estima concentraciones de polvo en el rango 10-20  $\mu\text{g}/\text{m}^3$ . Las altas concentraciones estimadas para el sureste peninsular podrían estar relacionadas con procesos de resuspensión local.



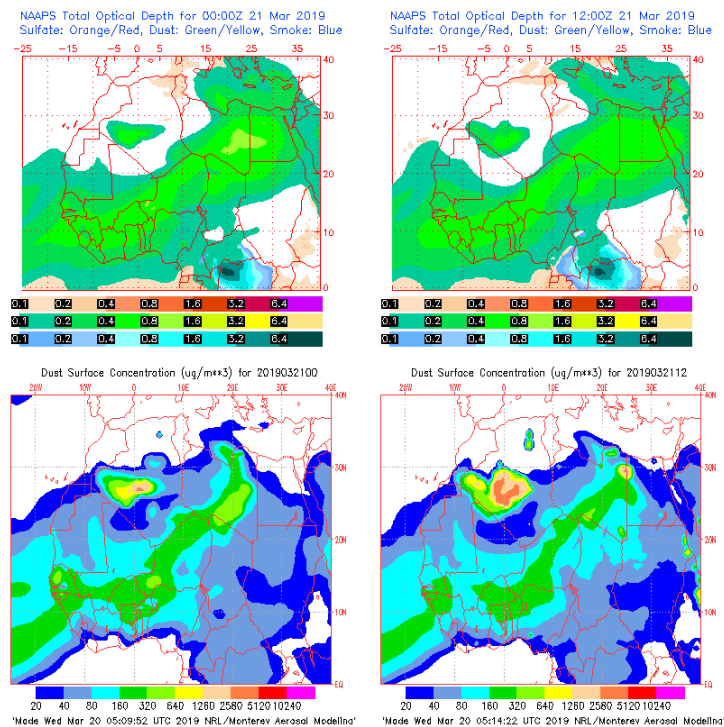
Concentración de polvo ( $\mu\text{g}/\text{m}^3$ ) predicha por el modelo NMMB/BSC-Dust para el día 21 de marzo de 2019 de 2018 a las 00 UTC (izquierda) y a las 12 UTC (derecha). © Barcelona Dust Forecast Center

El modelo SKIRON prevé también la presencia de masas de aire africano sobre las islas Canarias para el día 21 de marzo. Estima concentraciones de polvo en superficie en el rango 1-25  $\mu\text{g}/\text{m}^3$ .



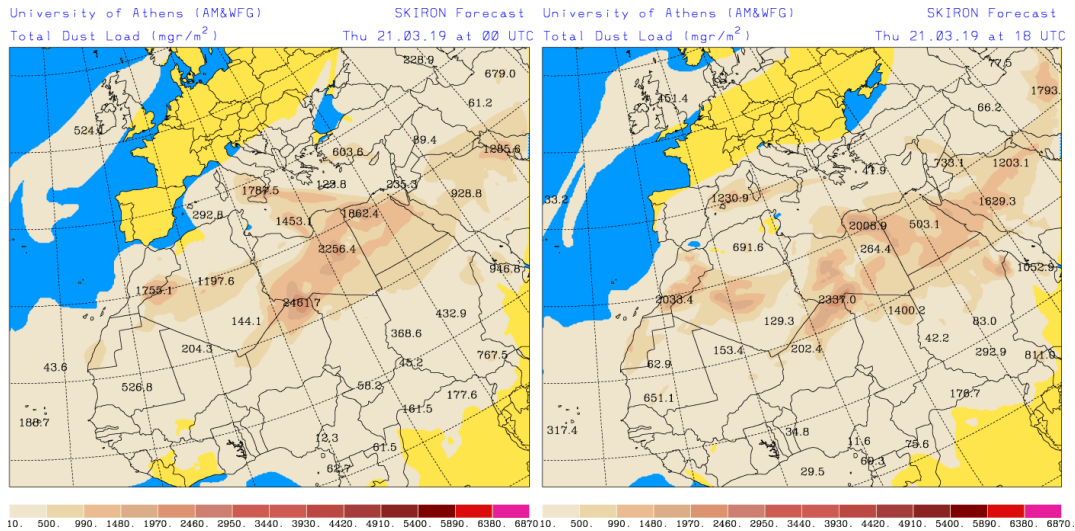
Concentración de polvo ( $\mu\text{g}/\text{m}^3$ ) predicha por el modelo SKIRON para el día 21 de marzo de 2019 a las 00 UTC y a las 12 UTC © Universidad de Atenas.

El modelo NAAPs no estima concentraciones de polvo en superficie superiores a 20  $\mu\text{g}/\text{m}^3$  sobre las islas Canarias para el día 21 de marzo.

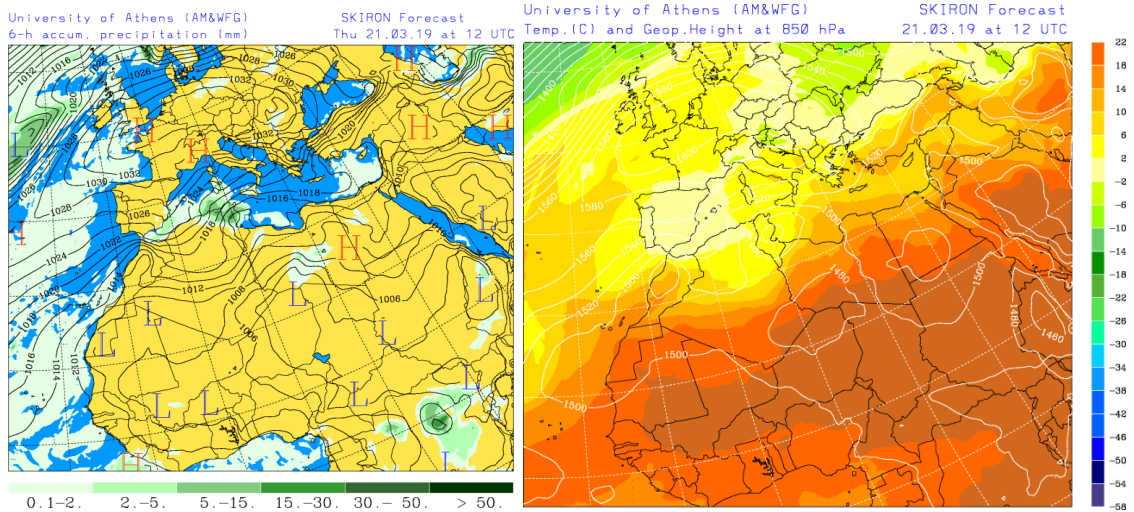


Espesor óptico de aerosoles a 550 nm (arriba) y concentración de polvo a nivel de superficie (abajo) previstos por el modelo NAAPS para el día 21 de marzo de 2019 a las 00 UTC y a las 06 UTC. ©Naval Research Laboratory (NRL), Monterey, CA.

Los mapas de carga total de polvo, así como los de presión a nivel del mar y altura geopotencial a nivel de 850 hPa proporcionados por el modelo SKIRON, muestran la presencia de masas de aire africano sobre las islas Canarias, favorecida por el anticiclón situado al norte de la Península y las bajas presiones sobre el norte de África.

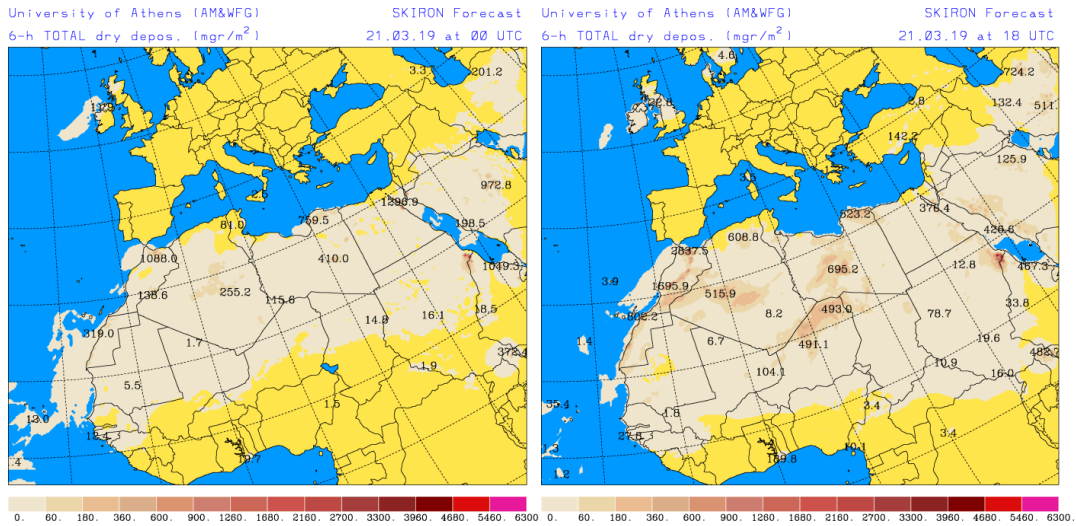


Carga total de polvo (mg/m<sup>2</sup>) predicha por el modelo SKIRON para el día 21 de marzo de 2019 a las 00 UTC (izquierda) y a las 18 UTC (derecha). © Universidad de Atenas.

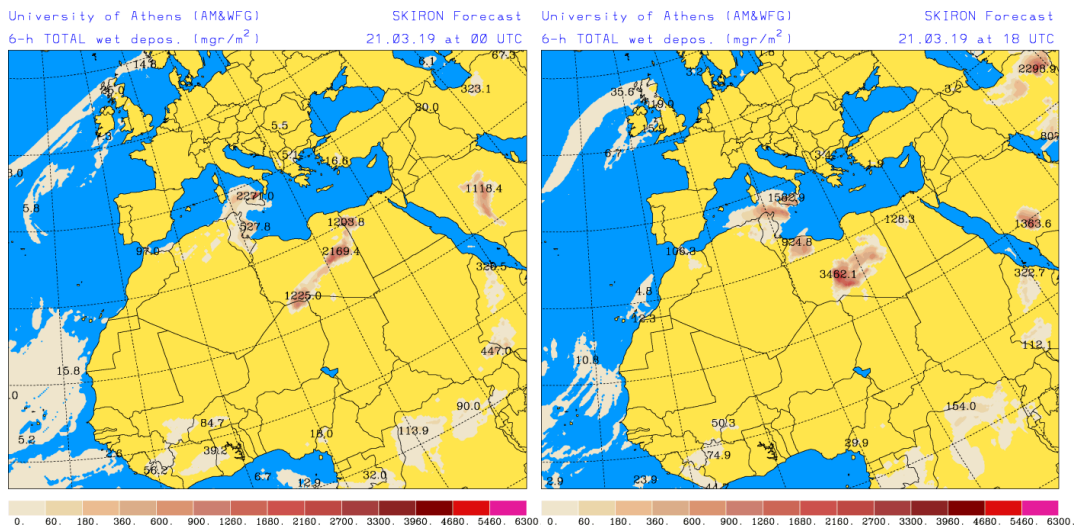


Precipitación acumulada (mm) y presión a nivel del mar (hPa) (izquierda) y campo de temperaturas (°C) y de altura geopotencial a 850 hPa (derecha) previsto por el modelo SKIRON para el día 21 de marzo de 2019 a las 12 UTC. © Universidad de Atenas.

Según el modelo SKIRON también podría producirse depósito seco y húmedo de polvo sobre las islas Canarias a lo largo del día 21 de marzo.



Depósito seco de polvo ( $\text{mg}/\text{m}^2$ ) predicho por el modelo SKIRON para el día 21 de marzo de 2019 a las 00 UTC (izquierda) y a las 18 UTC (derecha). © Universidad de Atenas



Depósito húmedo de polvo ( $\text{mg}/\text{m}^2$ ) predicho por el modelo SKIRON para el día 21 de marzo de 2019 a las 00 UTC (izquierda) y a las 18 UTC (derecha). © Universidad de Atenas

Fecha de elaboración de la predicción: 20 de marzo de 2019

Predicción elaborada por Noemí Pérez (IDAEA-CSIC)

Los datos son propiedad de la Dirección General de Calidad y Evaluación Ambiental, del Ministerio para la Transición Ecológica, y han sido obtenidos y se suministran en el marco del “Encargo del Ministerio para la Transición Ecológica a la Agencia Estatal Consejo Superior de Investigaciones Científicas para la detección de episodios naturales de aportes transfronterizos de partículas y otras fuentes de contaminación de material particulado, y de formación de ozono troposférico”.